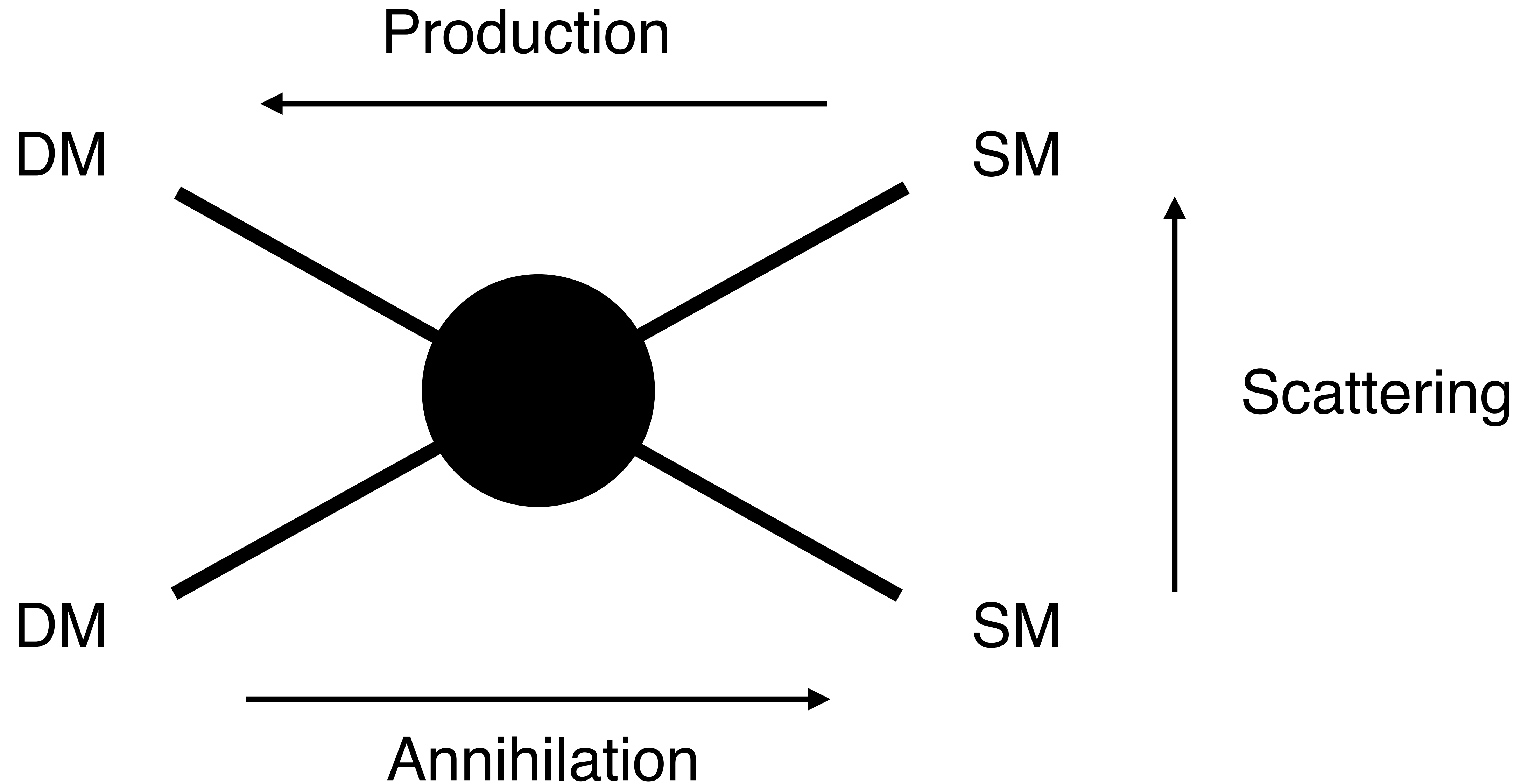


# Dark Photon Mediator模型での Migdal効果とElectron Scatteringの 比較

東京大学 中野湧天

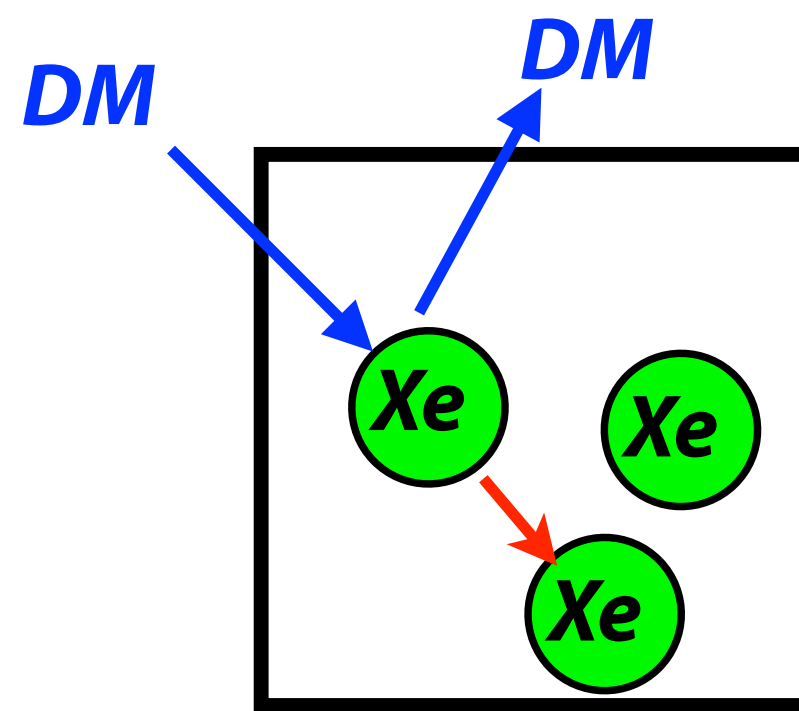
D. Baxter, Y. Kahn, G. Krnjaic, PRD 101, 076014 (2020)

# 暗黒物質の反応



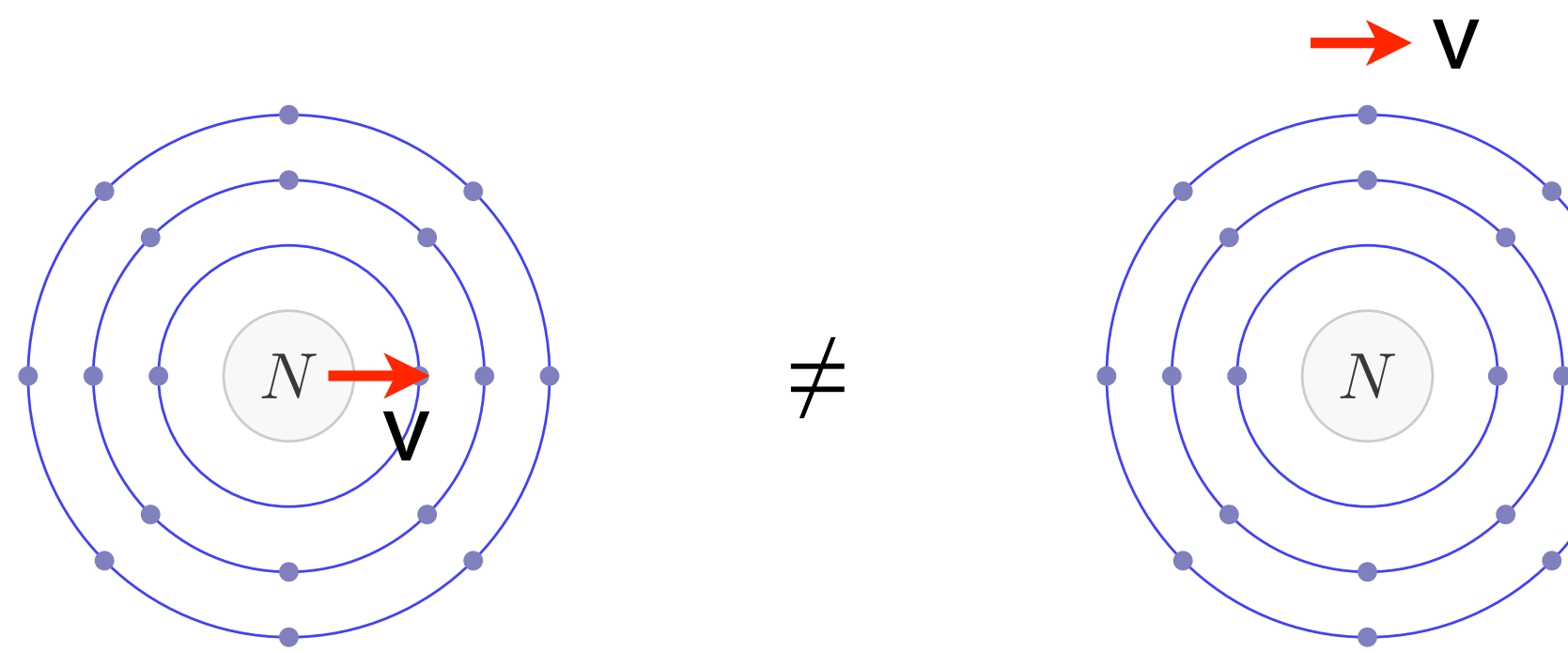
## ✓ What is missing in the conventional analysis?

DAY1での伊部さんのスライド



In conventional analysis, the **recoiled nucleus** is treated as a **recoiled neutral atom**.

- ✓ In reality, it takes some time for the electrons to catch up...



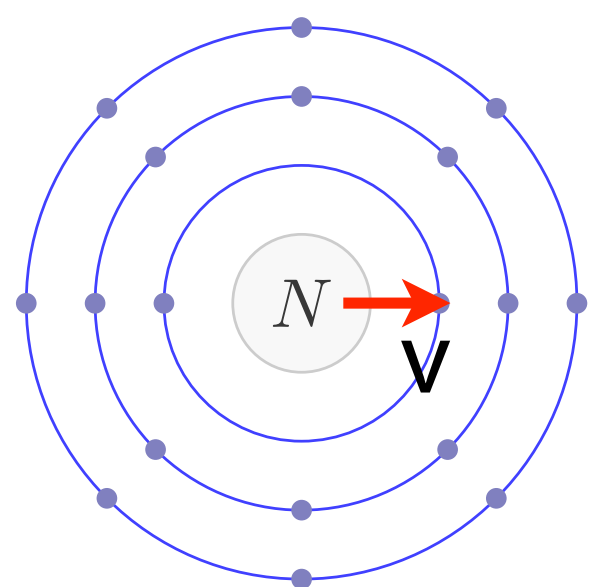
- ✓ The process to catch up causes electron excitations/ionizations!

→ **Migdal Effect ! [1939, Migdal]**

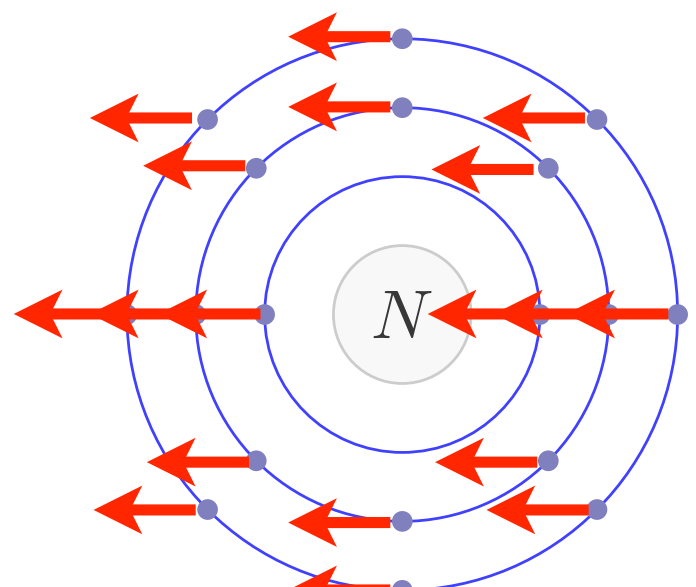
[ '05 Vergados&Ejiri, '07 Bernabei et al. Application to DM detection ]

## ✓ *Migdal's approach*

DAY1での伊部さんのスライド



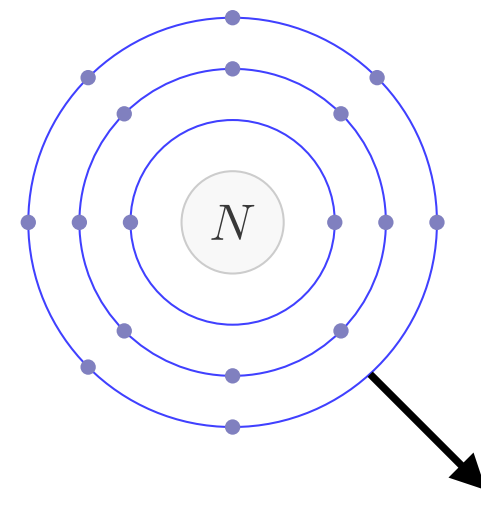
Just after the nuclear recoil, we assume only the nucleus is moving while the electron cloud is left behind.  
(The electron clouds are no more in the energy eigenstates.)



Take the rest frame of the nucleus by the Galilei transformation.  
In this frame, the wave function of the electron cloud looks like :

$$|\Phi'_{ec}\rangle = e^{-im_e \sum_i \mathbf{v} \cdot \hat{\mathbf{x}}_i} |\Phi_{ec}\rangle$$

Electron wave function in the initial state e.g. the ground state.



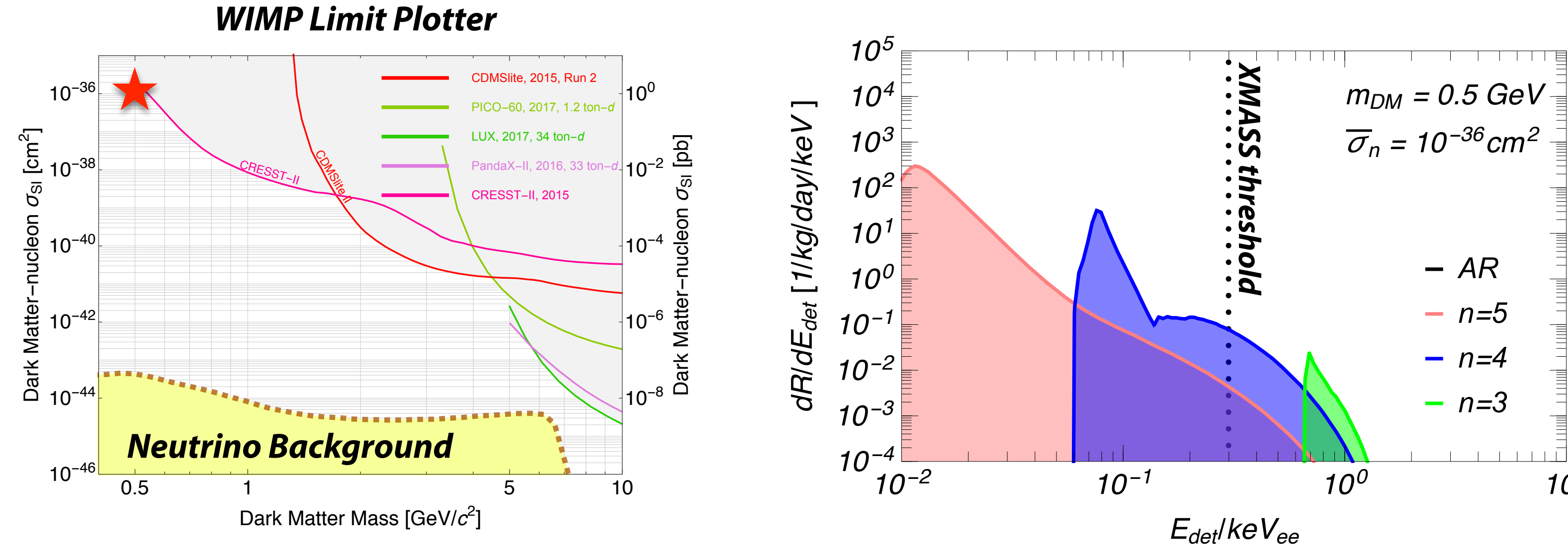
The probability of the excitation/ionization is given by

$$\mathcal{P} = |\langle \Phi_{ec}^F | \Phi'_{ec} \rangle|^2 = |\langle \Phi_{ec}^F | e^{-im_e \sum_i \mathbf{v} \cdot \hat{\mathbf{x}}_i} | \Phi_{ec} \rangle|^2$$

# ✓ Implication on Dark Matter Direct Detection Experiments

DAY1での伊部さんのスライド

## ✓ Migdal Effect single-phase Liquid Xe detectors



$$\frac{dR}{dE_{det}} \simeq \left. \frac{dR}{dE_{det}} \right|_{\text{w/o Migdal}} + \left. \frac{dR}{dE_{det}} \right|_{\text{w/ Migdal}}$$

$$E_{det} = (0.1-0.2) E_R + E_{EM} \quad E_{EM} = E_e + E_{dex} \sim E_e - E_n$$

[ Single phase Experiment = only scintillation energy :  
Only **10-20 %** of  $E_R$  is measured ]

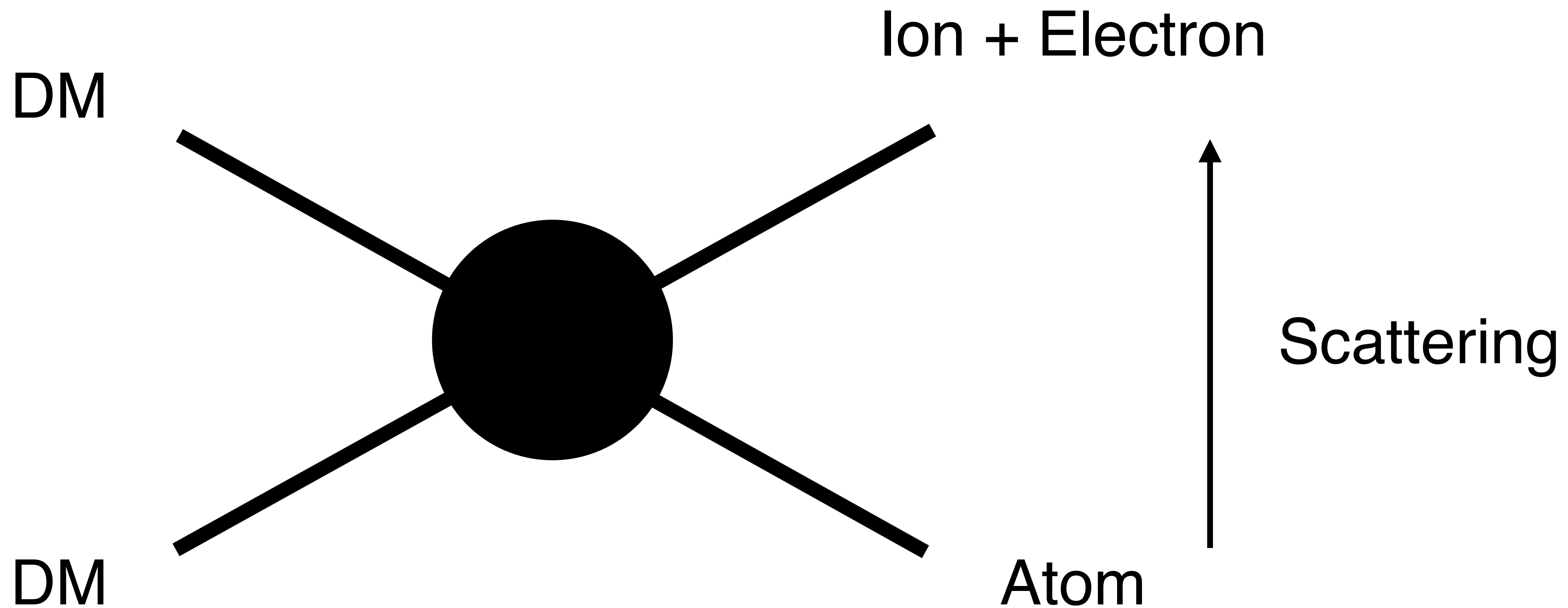
**A few hundred events with  $E_{det} = O(1)\text{keV}$  are expected for  $10^5 \text{ kg days}$  !**

**The atom recoil energy is much lower than threshold  $E_R < M_{DM}^2 / M_A \times v_{DM}^2 = O(1)\text{eV}$**

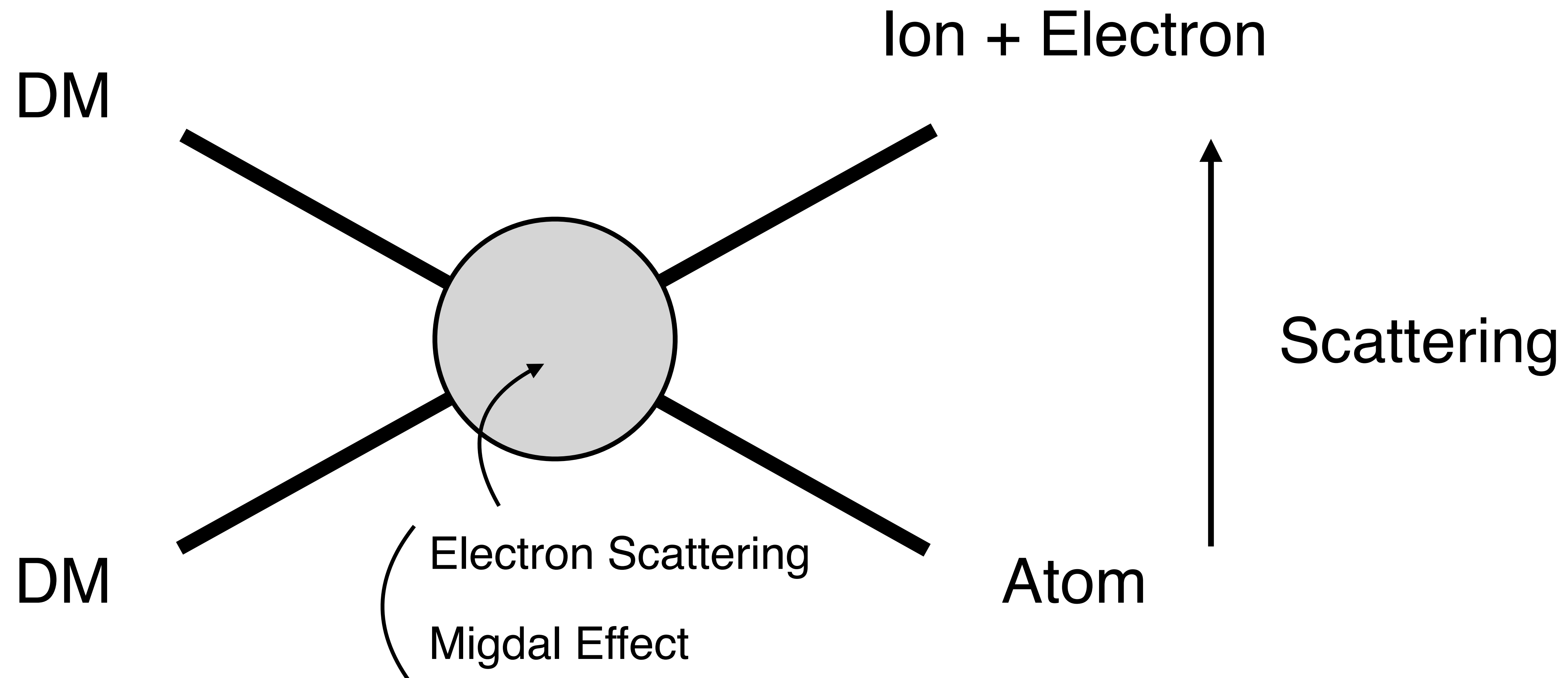
# DMによる電子のイオン化

- Dark photonのような模型を考えた場合
  - ① DMと電子の相互作用による電子のイオン化
  - ② DMと原子核の相互作用による電子のイオン化 (Migdal効果)

# DMによる電子のイオン化



# DMによる電子のイオン化



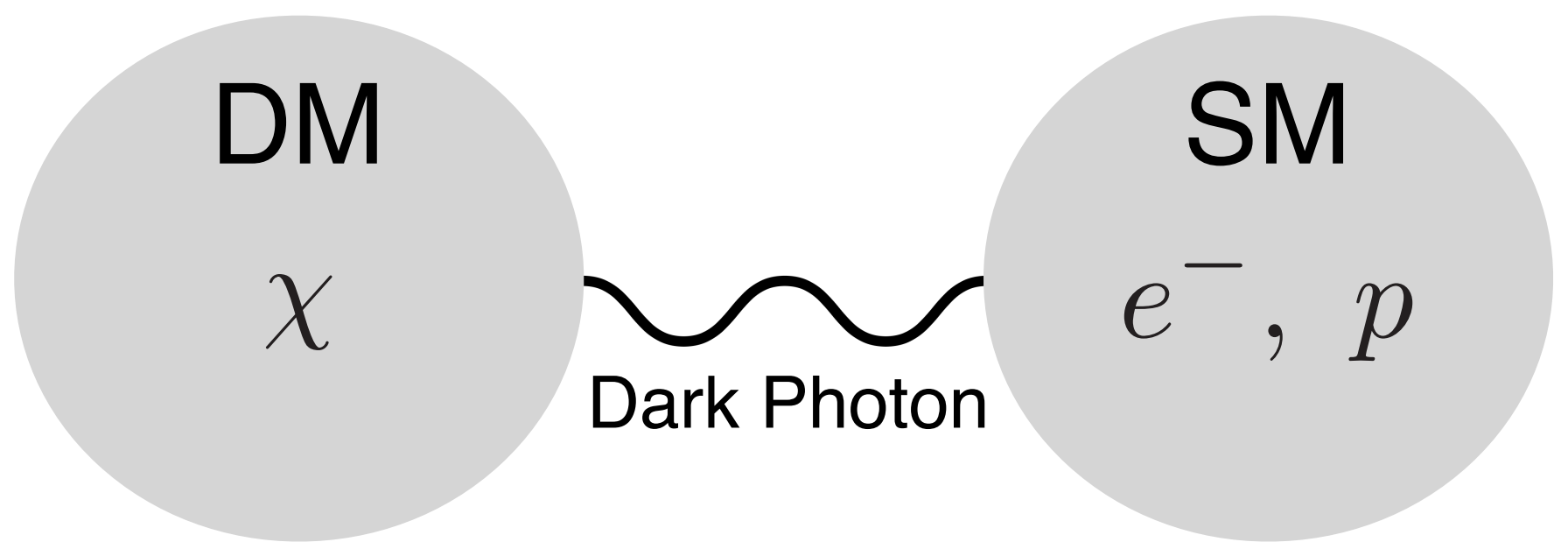
# Topics

- Dark Photon模型
- 電子のイオン化率の比較
- XENONデータによる制限
- 結論

# Dark Photon模型

- benchmark modelとしてdark photonを考える

$$A'_\mu (g_D J_D^\mu + \epsilon e J_{\text{EM}}^\mu)$$



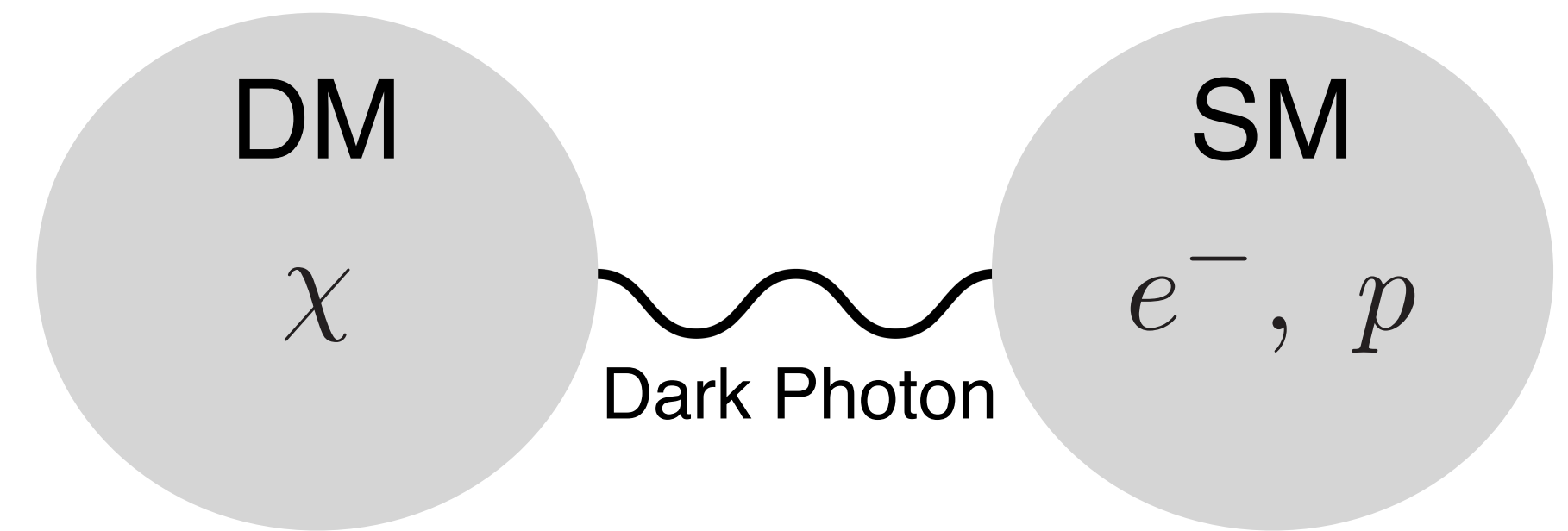
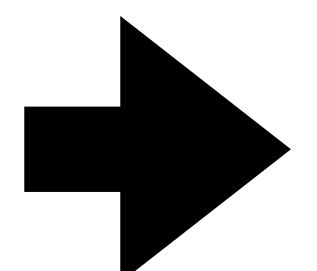
# Dark Photon模型

- benchmark modelとしてdark photonを考える

$$A'_\mu (g_D J_D^\mu + \epsilon e J_{\text{EM}}^\mu)$$

- fiducial DM scattering cross section for target T

$$\bar{\sigma}_T = \frac{16\pi\epsilon^2\alpha\alpha_D\mu_{\chi T}^2}{(m_{A'}^2 + |\mathbf{q}_0|^2)^2}$$



$$\frac{\bar{\sigma}_e}{\mu_{\chi e}^2} = \frac{\bar{\sigma}_p}{\mu_{\chi p}^2}$$

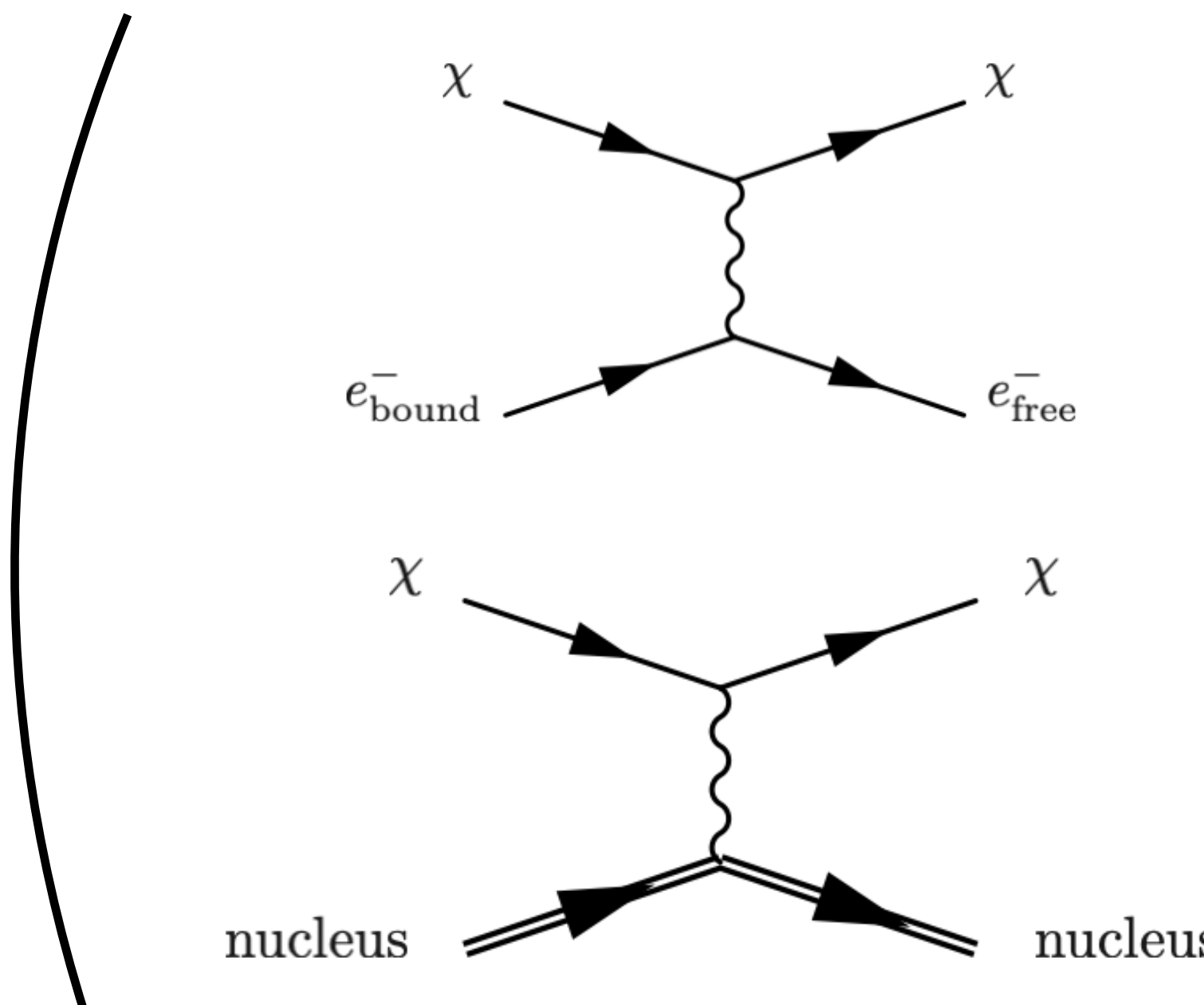
# 電子のイオン化率の計算

- $\chi + X \rightarrow \chi + X^+ + e^-$  を計算したい (isolated atomを仮定)
- Event rateはDM速度分布を使って表される

$$R_{i \rightarrow f} = \frac{\rho_\chi}{m_\chi} \int d^3v f(v) \frac{\sigma v_{i \rightarrow f}}{\text{Targetに依存}}$$

# 電子のイオン化率の計算

- 各散乱振幅は次のように表される

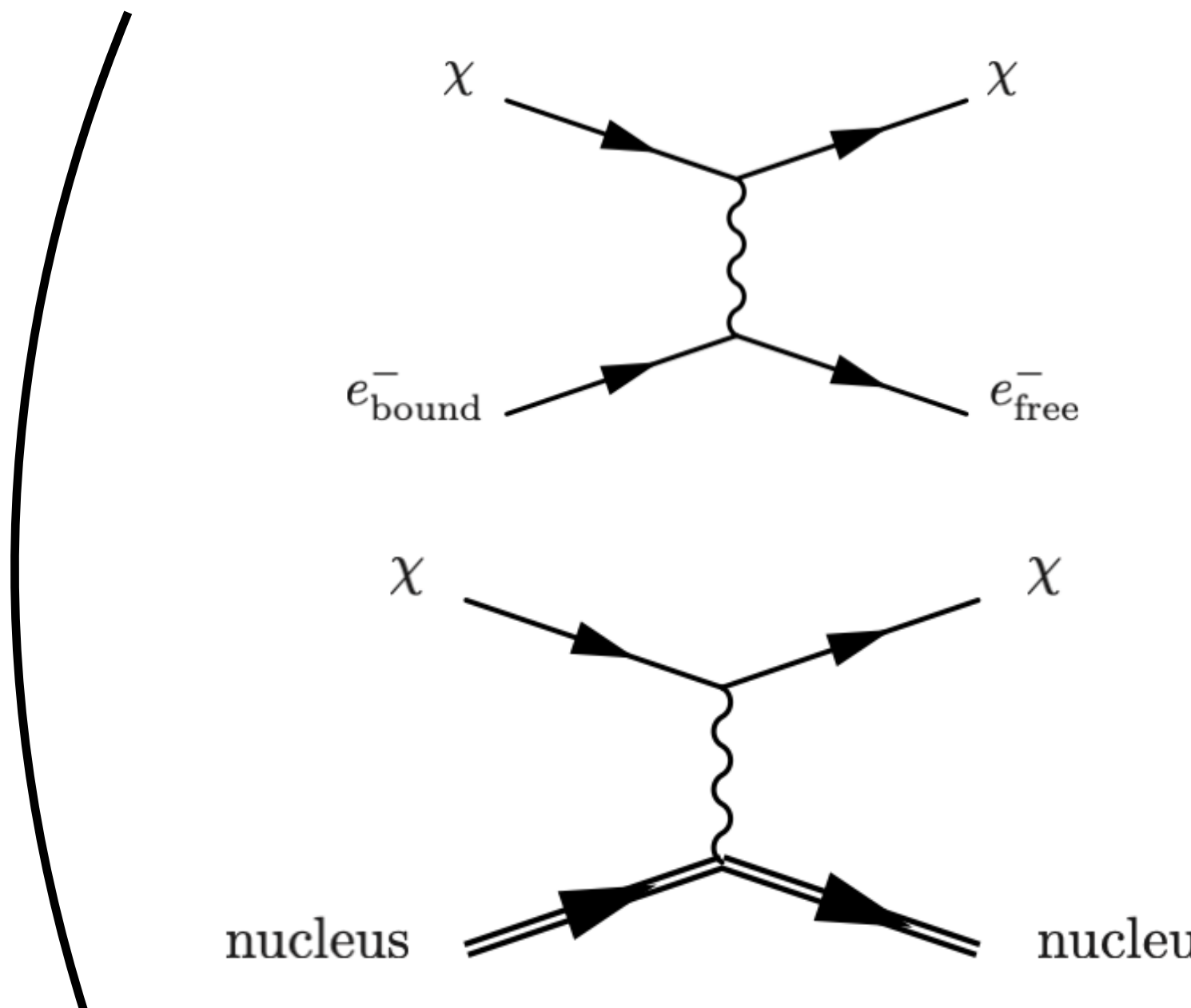


$$|\mathcal{M}_{\chi e}(q)|^2 = \frac{16\pi m_\chi^2 m_e^2 \bar{\sigma}_e}{\mu_{\chi e}^2} |F_{DM}(q)|^2$$

$$|\mathcal{M}_{\chi N}(q)|^2 = \underline{Z^2} \frac{16\pi m_\chi^2 m_N^2 \bar{\sigma}_p}{\mu_{\chi N}^2} \underline{|F_N(q)|^2} |F_{DM}(q)|^2$$

# 電子のイオン化率の計算

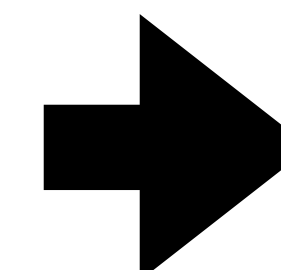
- 各散乱振幅は次のように表される



$$|\mathcal{M}_{\chi e}(q)|^2 = \frac{16\pi m_\chi^2 m_e^2 \bar{\sigma}_e}{\mu_{\chi e}^2} |F_{DM}(q)|^2$$

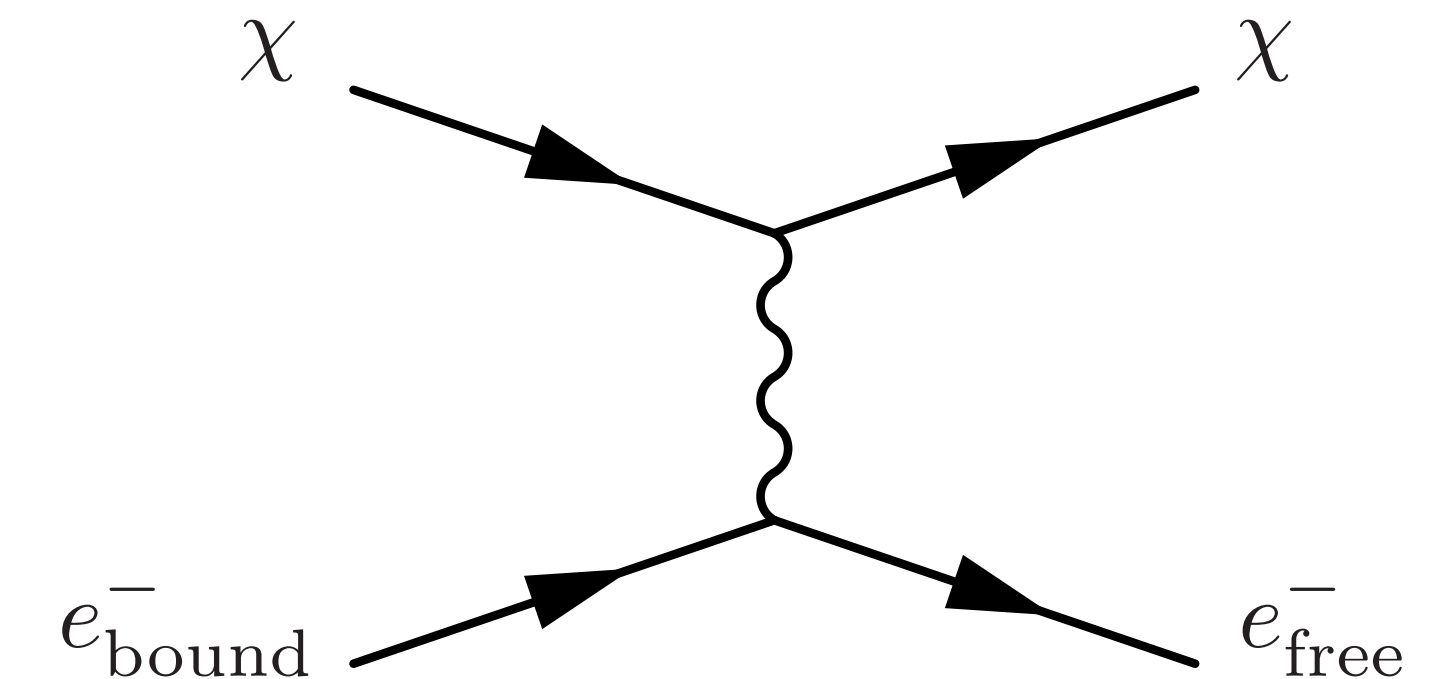
$$|\mathcal{M}_{\chi N}(q)|^2 = \underline{Z^2} \frac{16\pi m_\chi^2 m_N^2 \bar{\sigma}_p}{\mu_{\chi N}^2} \underline{|F_N(q)|^2} |F_{DM}(q)|^2$$

$$\frac{\bar{\sigma}_e}{\mu_{\chi e}^2} = \frac{\bar{\sigma}_p}{\mu_{\chi p}^2}$$



$$\frac{|\mathcal{M}_{\chi N}(q)|^2}{m_N^2} = Z^2 |F_N(q)|^2 \frac{|\mathcal{M}_{\chi e}(q)|^2}{m_e^2}$$

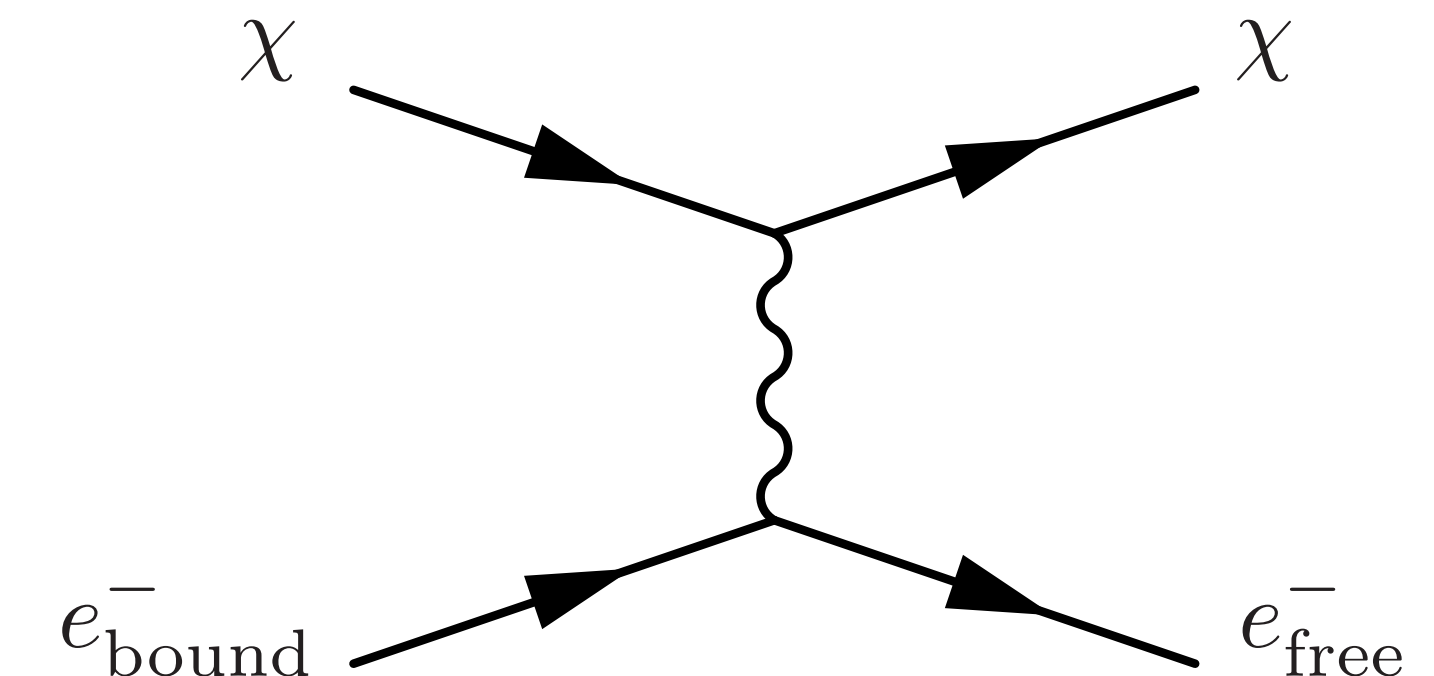
# 電子散乱の場合



- Event rateには遷移電子の行列要素が現れる

$$T_{fi} \approx i \frac{\mathcal{M}(q)}{\text{scattering}} \frac{\langle \psi_f | e^{i\mathbf{q} \cdot \mathbf{x}} | \psi_i \rangle}{\text{ionization}} (2\pi)^4 \delta^4(p_f - p_i)$$

# 電子散乱の場合



- Event rateには遷移電子の行列要素が現れる

$$T_{fi} \approx \frac{i\mathcal{M}(q)}{\text{scattering}} \frac{\langle \psi_f | e^{i\mathbf{q} \cdot \mathbf{x}} | \psi_i \rangle}{\text{ionization}} (2\pi)^4 \delta^4(p_f - p_i)$$

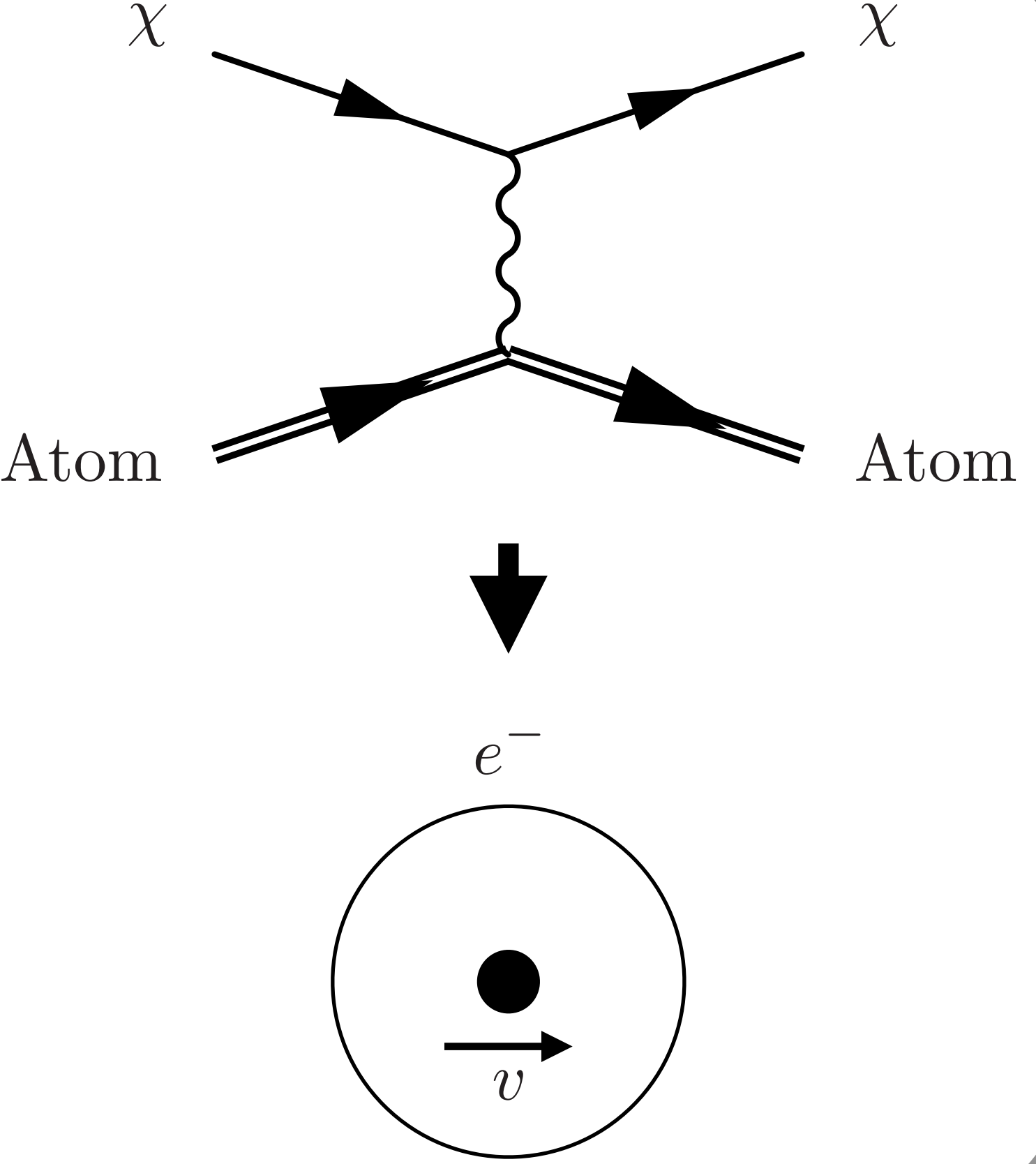
→  $R_e \propto |\langle \psi_f | e^{i\mathbf{q} \cdot \mathbf{x}} | \psi_i \rangle|^2$

- large  $q$  で振動によるsuppressionがある

# Migdal散乱の場合

- Event rateは

$$T_{fi} \approx \frac{i\mathcal{M}(q)}{\text{scattering}} \frac{\langle \psi_f | e^{i\mathbf{q}_e \cdot \mathbf{x}} | \psi_i \rangle}{\text{Migdal}} (2\pi)^4 \delta^4(p_f - p_i)$$

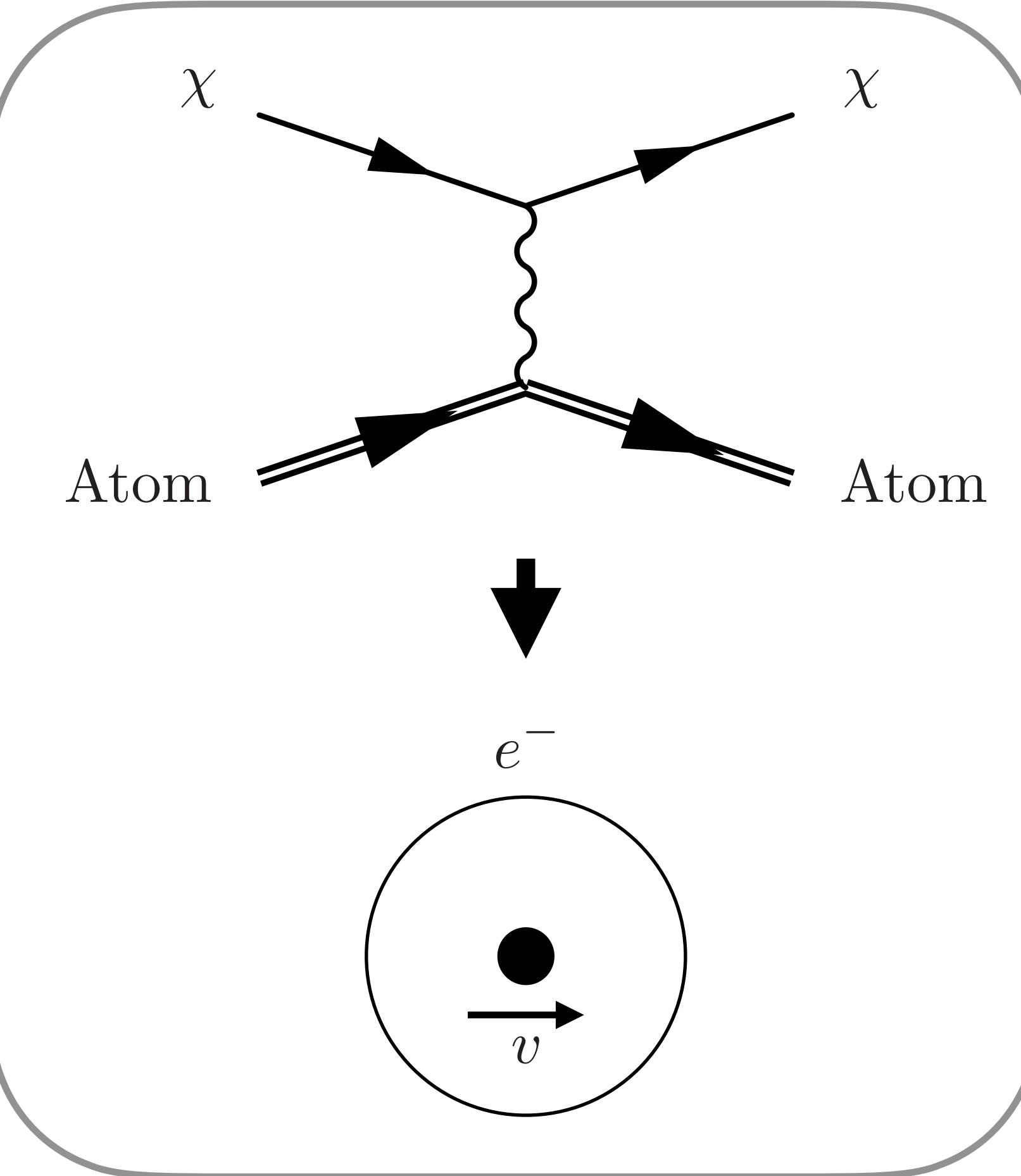


# Migdal散乱の場合

- Event rateは

$$T_{fi} \approx \frac{i\mathcal{M}(q)}{\text{scattering}} \frac{\langle \psi_f | e^{i\mathbf{q}_e \cdot \mathbf{x}} | \psi_i \rangle}{\text{Migdal}} (2\pi)^4 \delta^4(p_f - p_i)$$

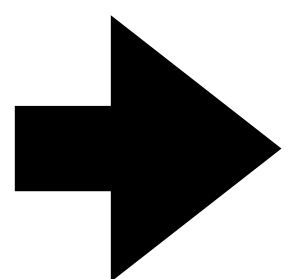
→  $R_M \propto |\langle \Psi_{\mathbf{v}_A} | \Psi_i \rangle|^2 \sim |\langle \psi_f | e^{i\mathbf{q}_e \cdot \mathbf{x}} | \psi_i \rangle|^2$



# Migdal散乱の場合

- Event rateは

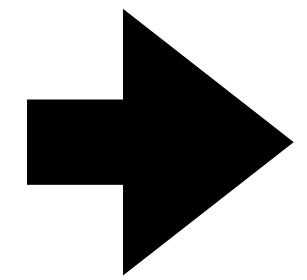
$$T_{fi} \approx \frac{i\mathcal{M}(q)}{\text{scattering}} \frac{\langle \psi_f | e^{i\mathbf{q}_e \cdot \mathbf{x}} | \psi_i \rangle}{\text{Migdal}} (2\pi)^4 \delta^4(p_f - p_i)$$



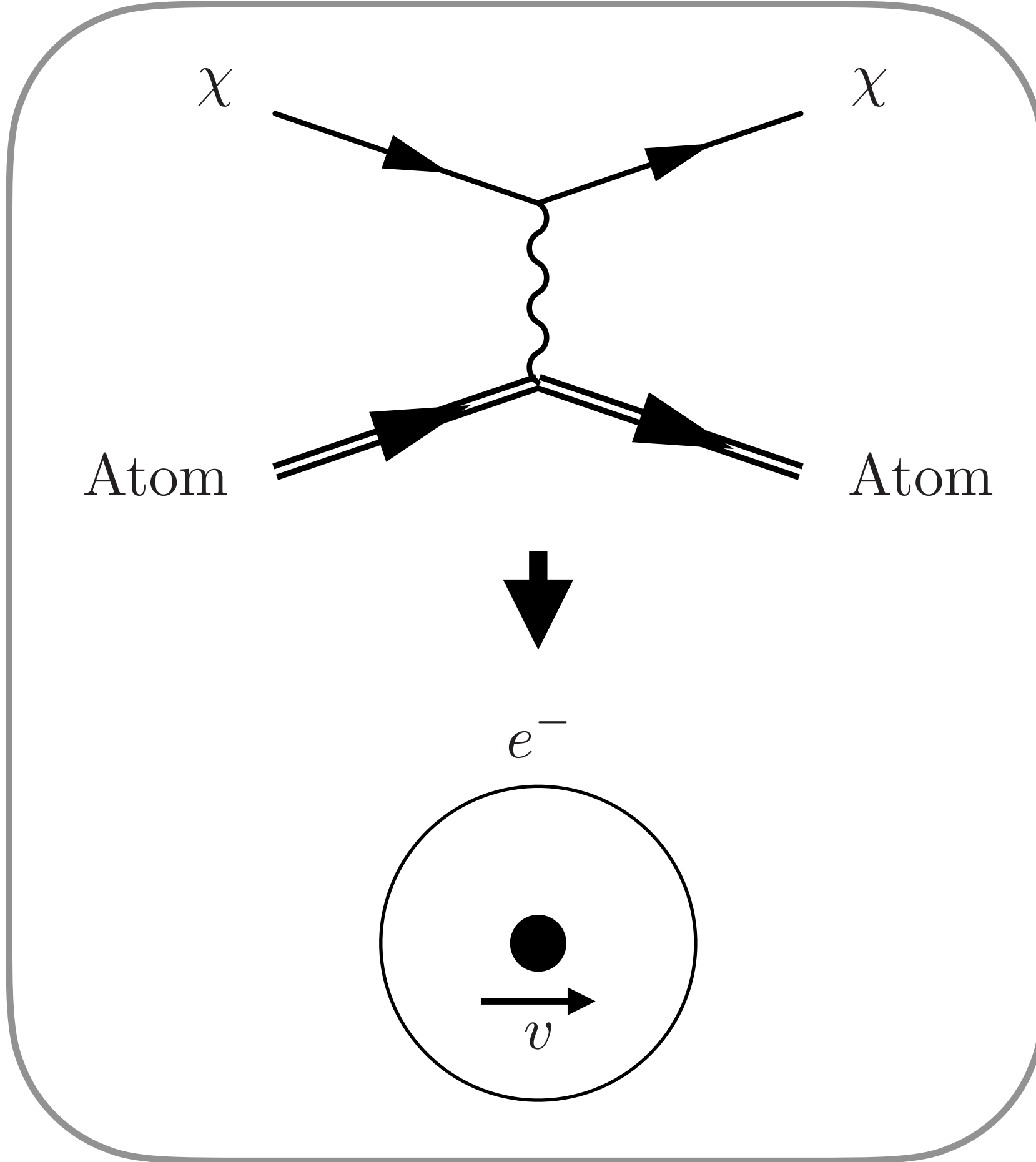
$$R_M \propto |\langle \Psi_{\mathbf{v}_A} | \Psi_i \rangle|^2 \sim |\langle \psi_f | e^{i\mathbf{q}_e \cdot \mathbf{x}} | \psi_i \rangle|^2$$

$$\mathbf{q}_e = \frac{m_e}{m_N} \mathbf{q}$$

$\sim 10^{-3}$



$$R_M \propto |\langle \psi_f | \mathbf{q}_e \cdot \mathbf{x} | \psi_i \rangle|^2$$



# 2つの過程の比較

- ・比較すると

$$T_{fi}^e \approx i\mathcal{M}_{\chi e}(q) \langle \psi_f | e^{i\mathbf{q} \cdot \mathbf{x}} | \psi_i \rangle (2\pi)^4 \delta^4(p_f - p_i)$$

$$T_{fi}^M \approx i\mathcal{M}_{\chi N}(q) \langle \psi_f | e^{i\mathbf{q}_e \cdot \mathbf{x}} | \psi_i \rangle (2\pi)^4 \delta^4(p_f - p_i)$$

$$\mathbf{q}_e = \frac{m_e}{m_N} \mathbf{q}$$

$$\frac{|\mathcal{M}_{\chi N}(q)|^2}{m_N^2} = \underline{\frac{Z^2 |F_N(q)|^2}{m_e^2}} \frac{|\mathcal{M}_{\chi e}(q)|^2}{m_e^2}$$

# Ionization Form Factor

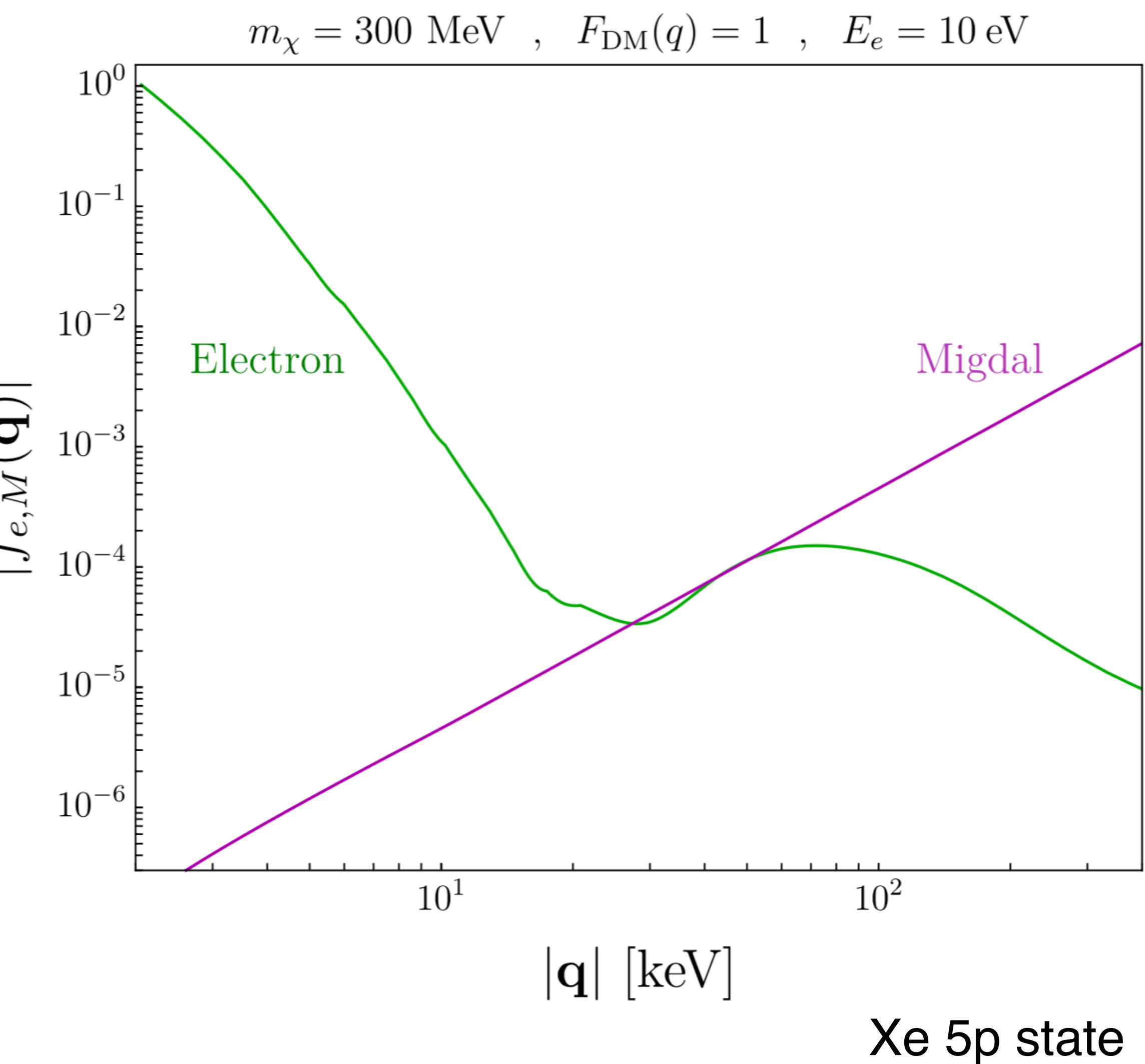
$$|f_e(E_e, \mathbf{q})|^2 = \frac{k'^3}{4\pi^3} \times 2 \sum_{n,l,l',m'} |\langle \psi_{E_e}^f | e^{i\mathbf{q}\cdot\mathbf{x}} | \psi_{E_{nl}}^i \rangle|^2$$

$$|f_M(E_e, \mathbf{q})|^2 = \frac{k'^3}{4\pi^3} Z^2 |F_N(q)|^2 \times 2 \sum_{n,l,l',m'} |\langle \psi_{E_e}^f | e^{i\mathbf{q}_e \cdot \mathbf{x}} | \psi_{E_{nl}}^i \rangle|^2$$

$$k'^2 = 2m_e E_e$$

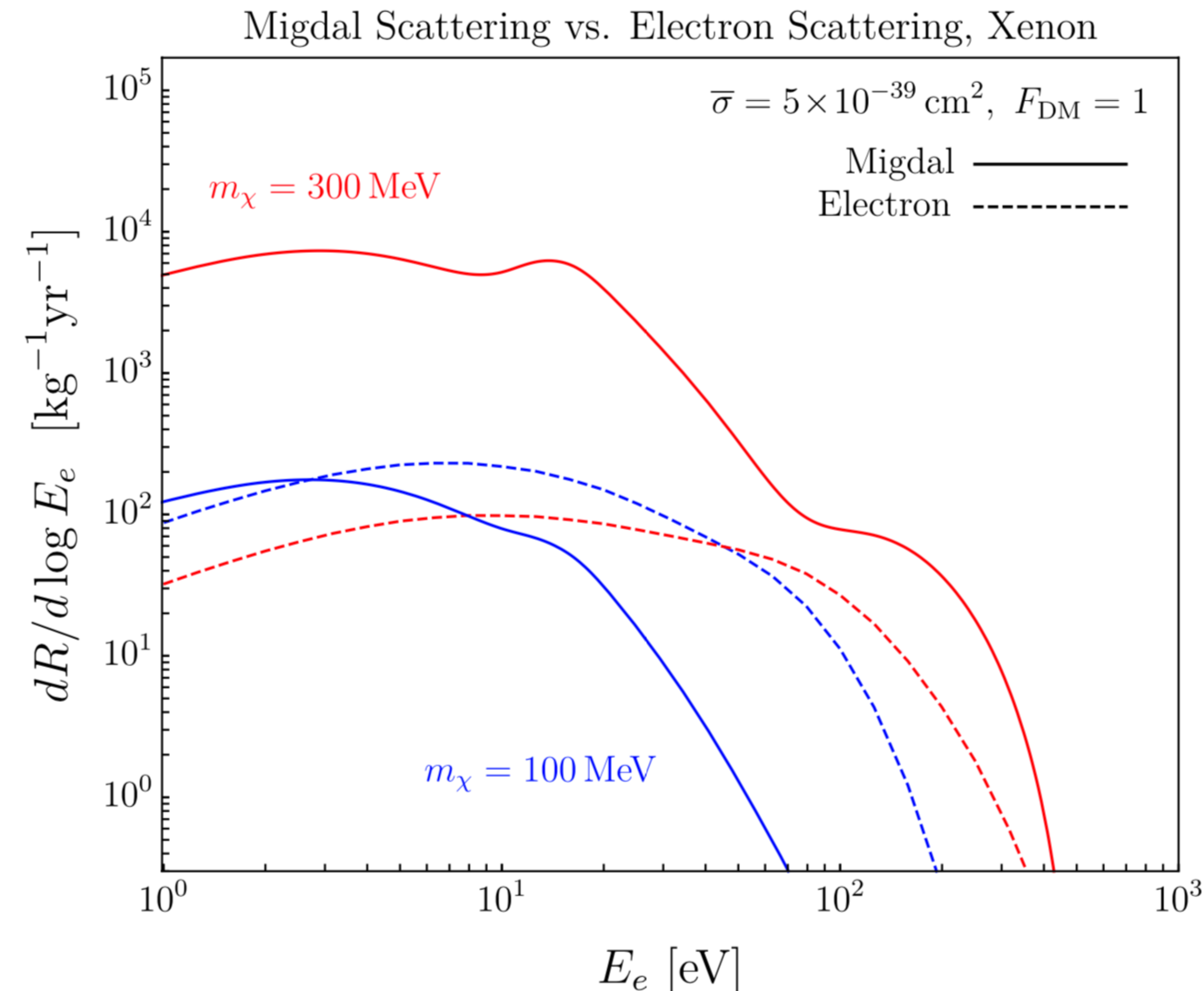
- $F_{DM}(q) \propto q^{-2}$  の場合又は  $m_{DM}$  が小さい場合

Migdal factorはelectron factorに勝てない



# Differential Event Rate

- 100 MeVではelectron scatteringが優勢だが、300 MeVでは逆転する
- Migdalのshapeは電子の波動関数の形を反映



# Comparison to XENON

- XENONのデータと比較するために  
観測される電子の数を見積もる

1回のイベントで作られるquantized signalは

$$n_t = \text{floor} \left( \frac{E_e}{W} \right) + \text{floor} \left( \frac{|E_{nl}| - E_b}{W} \right)$$

$$W = 13.7 \text{ eV}$$

# Comparison to XENON

- XENONのデータと比較するために  
観測される電子の数を見積もる

1回のイベントで作られるquantized signalは

$$n_t = \text{floor} \left( \frac{E_e}{W} \right) + \text{floor} \left( \frac{|E_{nl}| - E_b}{W} \right)$$

$$W = 13.7 \text{ eV}$$

作られるquantaの数は

$$n_e = f_0 + \underline{n_t} C_{f_0}$$

最初に作られた電子に対する確率

$f_0$  : 観測される確率

# 電子状態の計算精度について

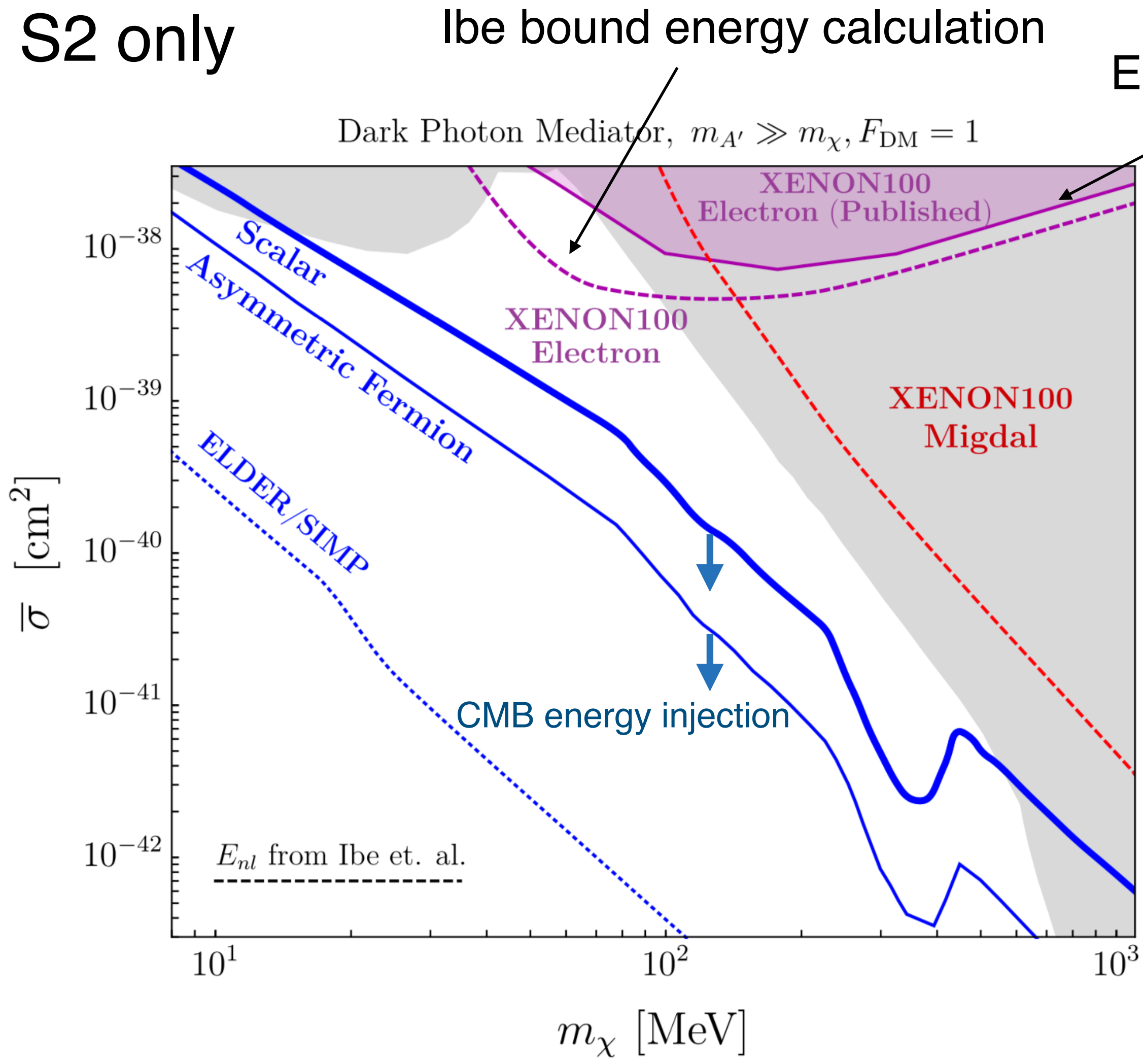
- Xeのエネルギー準位の比較

Method	$E_b$	$ E_{5p} $	$ E_{5s} $	$ E_{4d} $
Ibe et al. [32]	9.8	9.8	21	61
Essig et al. [16, 61]	12.4	12.4	25.7	75.6
Measured [62, 63]	12.1	12.8	23.3	68.5

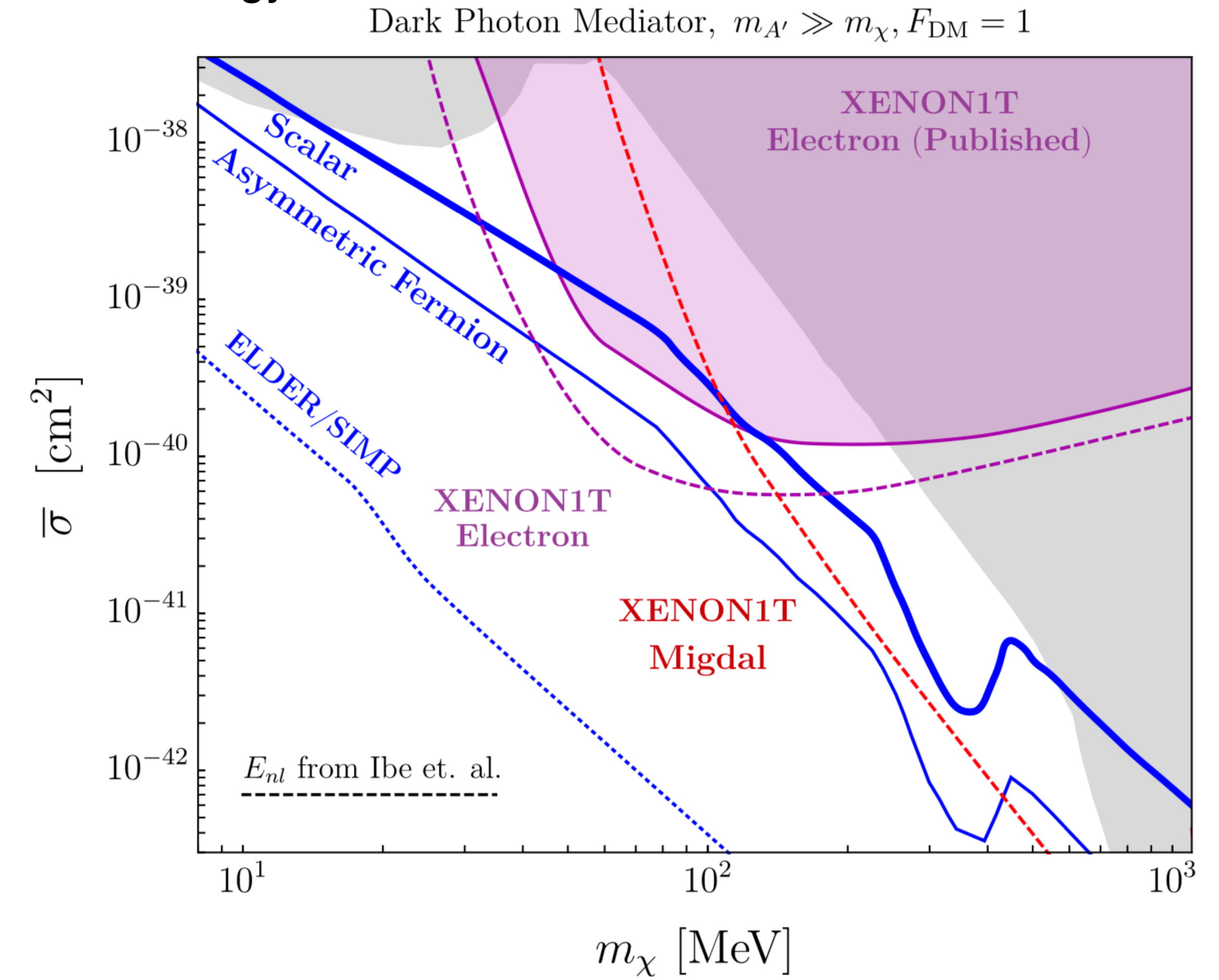
- Essigの方法の方が実験値に近いが、波動関数が直行化されない

# 結果 (XENON100, XENON1T)

S2 only



Essig bound energy calculation



$$\overline{\sigma}_e = \overline{\sigma}$$

$$\overline{\sigma}_p = \left( \frac{\mu_{\chi p}^2}{\mu_{\chi e}^2} \right) \overline{\sigma}$$

# Conclusion

- ・ミグダル効果は暗黒物質探索においてsub-GeV regionで有効なrare eventである
- ・ミグダル効果とelectron scatteringは似た様な構造を持っているが、模型によってどちらがdominantか異なる
- ・電子状態の計算の精密化によってミグダル効果の計算精度の向上が見込める